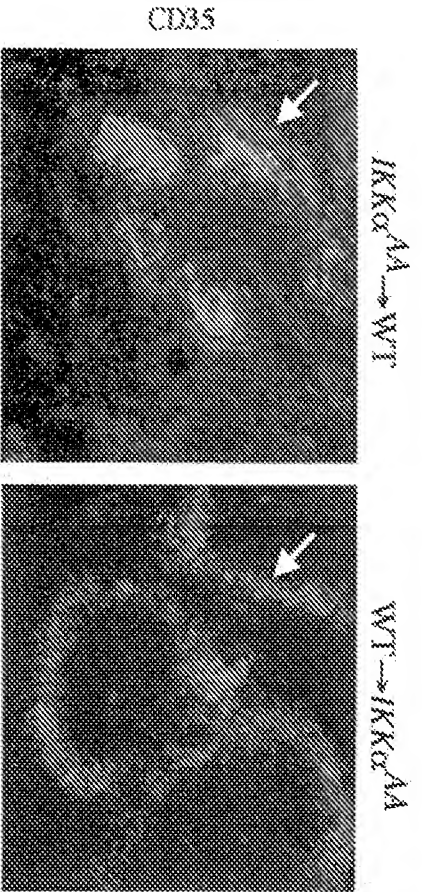
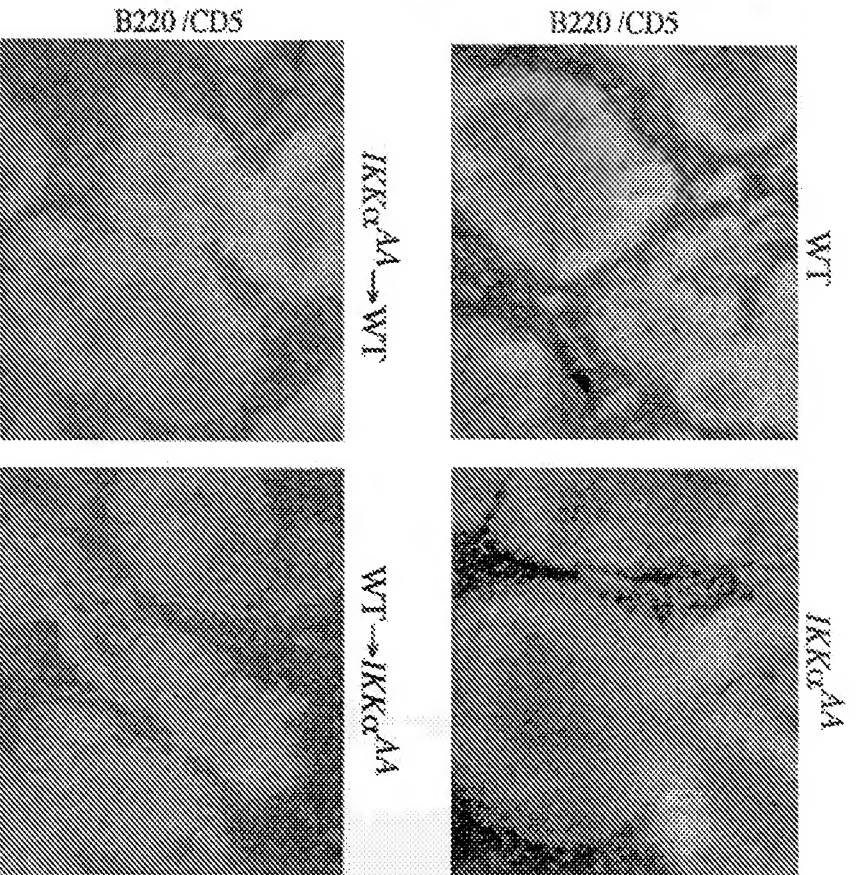


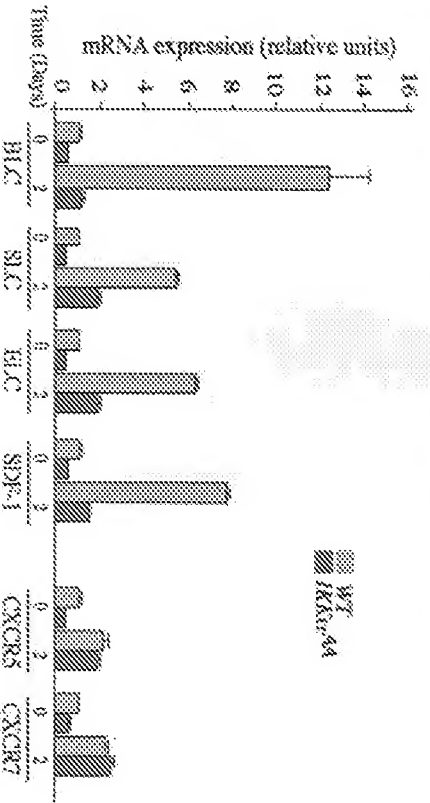
A.



B.

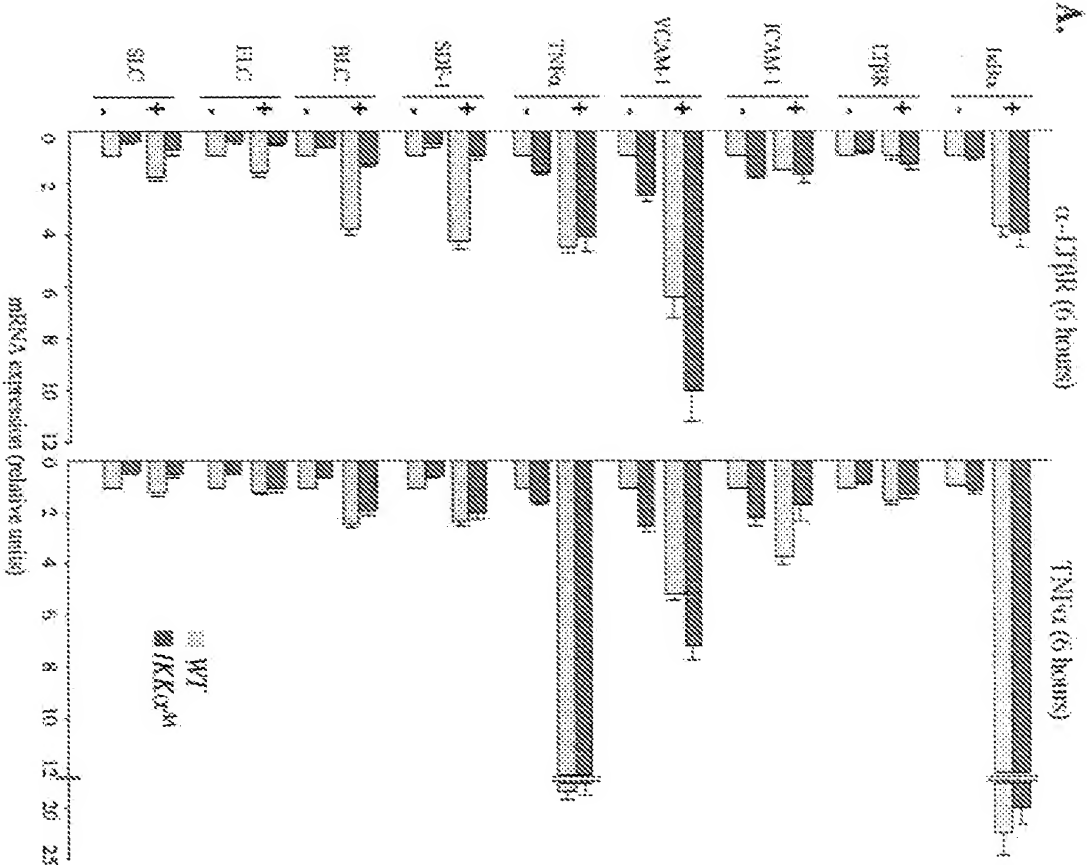


C.

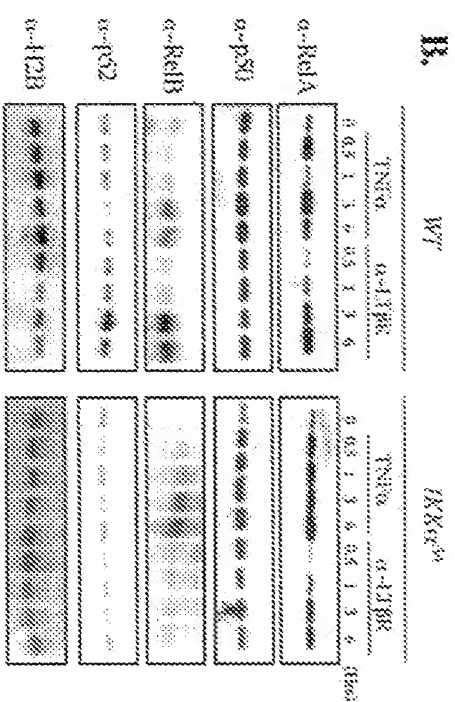


100

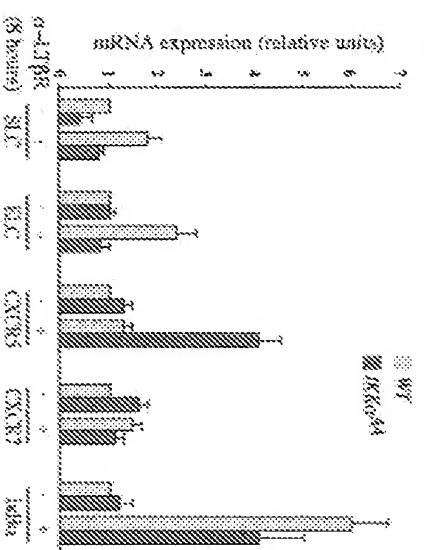
A.



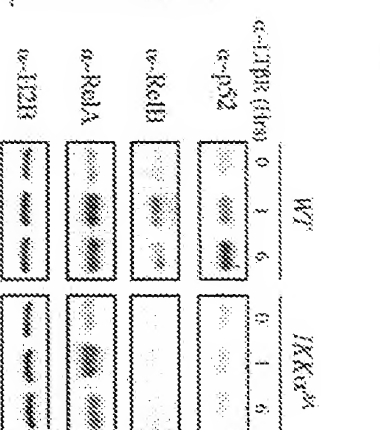
B.



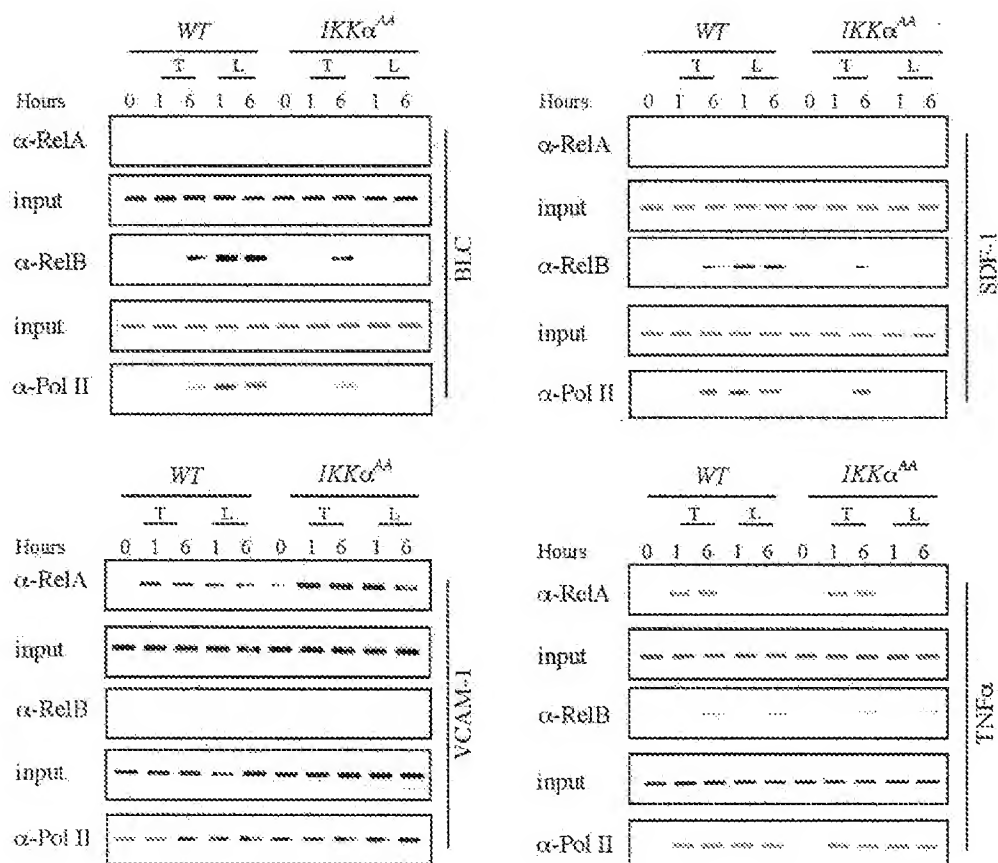
C.



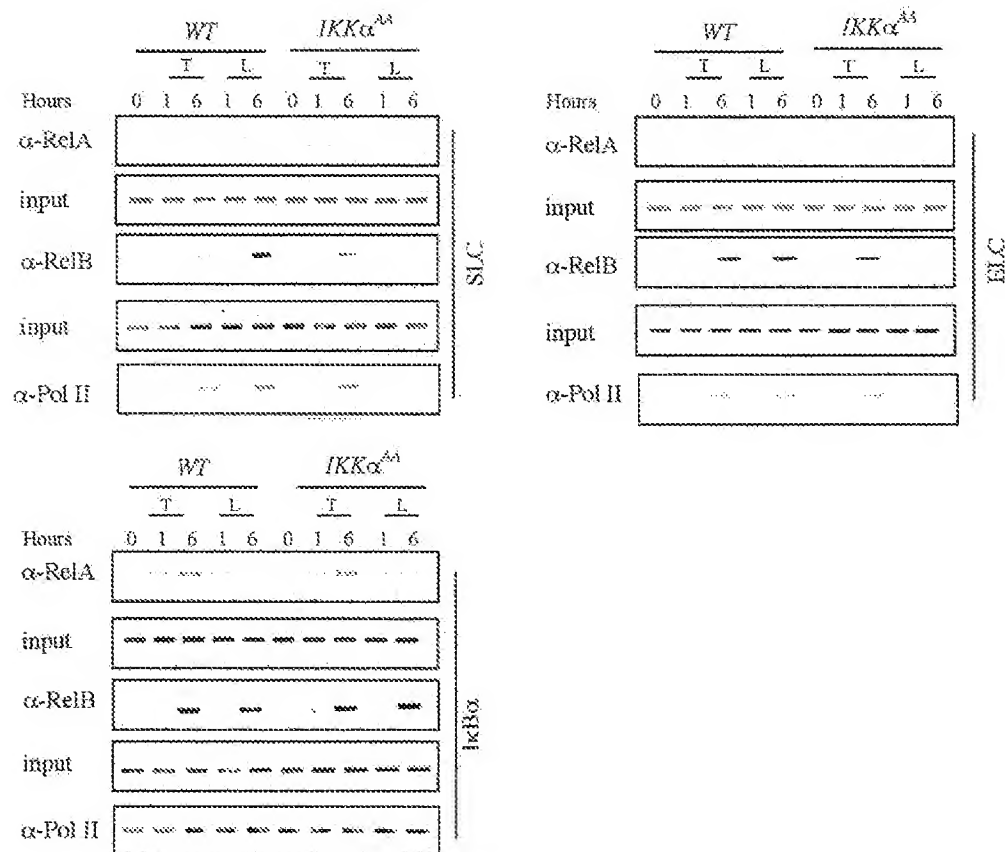
D.



A.



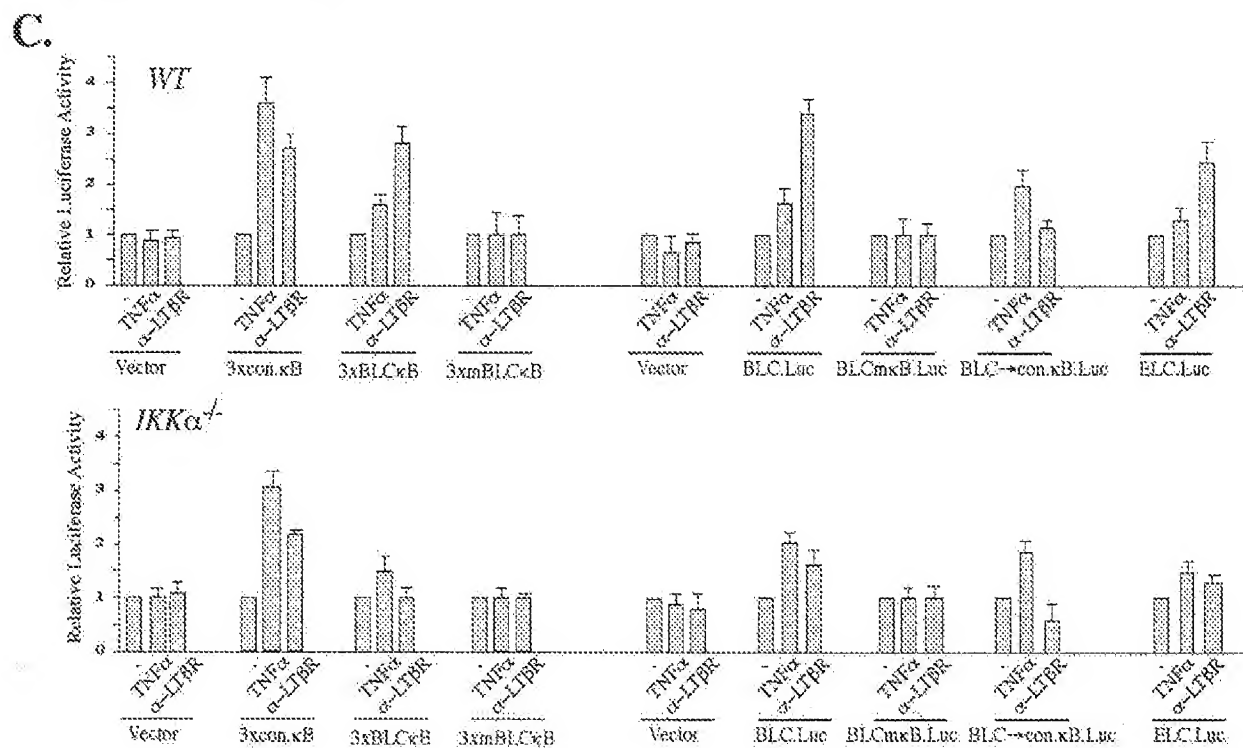
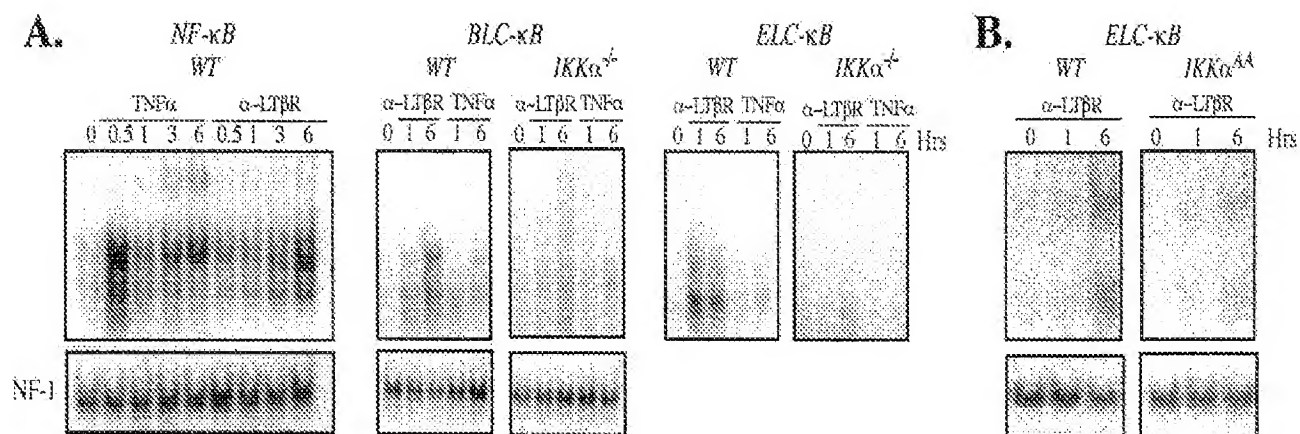
B.



9

<i>Consensus</i> -kB	GGGAGCTTCCC
<i>BIC</i> -kB	GGGAGAGATTG
<i>ELC</i> -kB	AGGAGATTG
<i>VCAM-1</i> -kB	GGGATTCCC

Fig. 4



D.

BLC- κ B (-115) GGGAGATTTC

ELC- κ B (-64) AGGAGATTTC

SDF- κ B (-675) GGGAGACCTG

Baff #1 (-14) AGGAGACTTC

Baff #2 (-71) GTGAGATTTC

Rxra (-4764) AGGAAATTTC

Irf3 (-450) GGGAGATGTA

E.

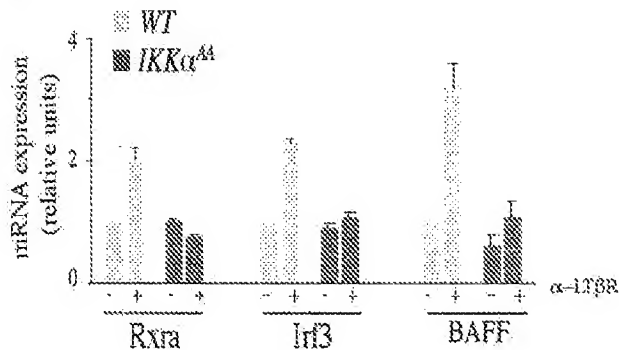
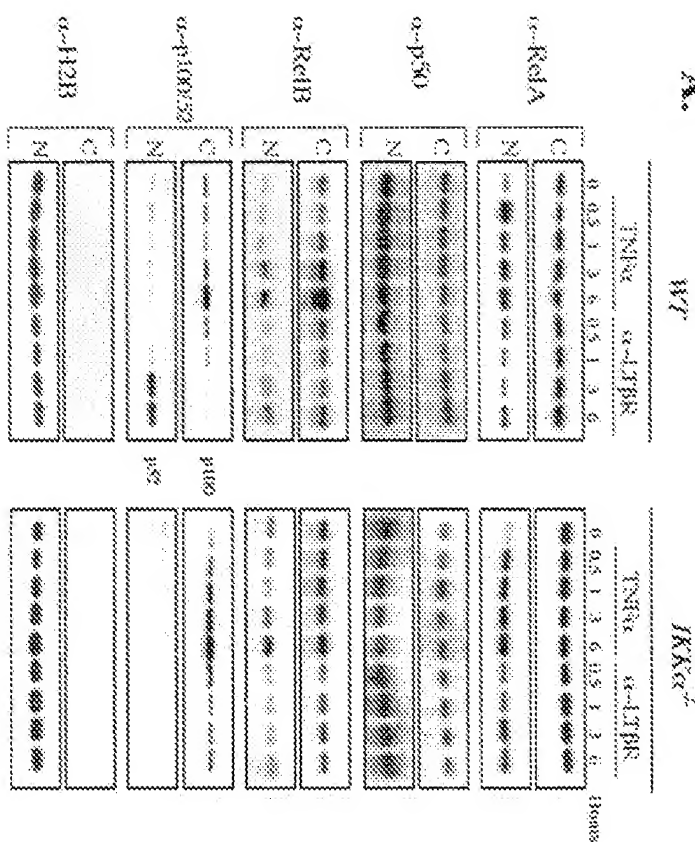


Fig. 5

A.



B.

